

## БАРЬЕРНАЯ ФОТОПРОВОДИМОСТЬ В ЭПИТАКСИАЛЬНЫХ ПЛЕНКАХ GaAs И InP

**Карпович И. А., Бедный Б. И., Байдус Н. В.,  
Планкина С. М., Степихова М. В., Шилова М. В.**

Исследованы фотопроводимость и конденсаторная фотоэдс в эпитаксиальных пленках GaAs и InP *n*-типа на полуизолирующих подложках. При не слишком высоких интенсивностях освещения зависимость фотопроводимости от фотоэдс, интенсивности освещения (подсветки), спектральные и частотные характеристики явления хорошо согласуются с барьевой моделью фотопроводимости, согласно которой фотопроводимость определяется изменением эффективной ширины как поверхностного, так и внутреннего барьера. Разработаны методики разделения вклада в фотопроводимость каждого из барьеров и определения высоты поверхностного барьера.

Явление планарной фотопроводимости в эпитаксиальных пленках GaAs и InP, нанесенных на полуизолирующие (*i*) подложки, используется в быстрых действующих высокочувствительных фоторезисторах и фототранзисторах с барьером Шоттки (см., например, обзор [1]). Хотя исследованию этого явления посвящен ряд работ, механизм его все еще недостаточно выяснен. В некоторых работах [2, 3] он трактуется в рамках модели обычной объемной фотопроводимости с сильно различающимися временами жизни неравновесных носителей заряда ( $\tau_n \gg \tau_p$ ), в других объясняется эффектами на барьерах: разделением электронно-дырочных пар на внутреннем *n*—*i*-барьеере, приводящим к росту их эффективного времени жизни [4], или изменением ширины обедненного слоя поверхностного [5–7] или внутреннего [8] барьера при освещении.

Поскольку барьевой механизм фотопроводимости непосредственно связан с возникновением фотоэдс, представляется важным проведение совместных исследований фотопроводимости и фотоэдс в одних и тех же структурах. В настоящей работе приведены результаты такого исследования, позволившего более определенно идентифицировать механизм фотопроводимости, выяснить роль в нем поверхностного и внутреннего барьера, уточнить и расширить возможности фотоэлектрических методов определения параметров эпитаксиальных структур.

### Модель барьевой фотопроводимости

Строгое теоретическое рассмотрение фотопроводимости полупроводника с учетом только поверхностного барьера [5] приводит к сложным выражениям, требующим численного решения и содержащим ряд трудно определяемых параметров. Рассмотрим некоторые следствия, вытекающие из упрощенной барьевой модели фотопроводимости, которые, как будет показано далее, достаточно хорошо согласуются с экспериментом.

Квазиверхностную фотопроводимость пленки полупроводника *n*-типа на полуизолирующей подложке представим в виде

$$\sigma_{\phi} = \sigma_{\phi 0} + \sigma_{\phi 1} + \sigma_{\phi 2}, \quad (1)$$

где  $\sigma_{\phi 1}$ ,  $\sigma_{\phi 2}$  — фотопроводимость, обусловленная изменением эффективной ширины поверхностного и внутреннего барьера соответственно, которую мы

будем называть барьерной фотопроводимостью (БФП),  $\sigma_{\phi}$  — приведенная к поверхности обычная объемная фотопроводимость.<sup>1</sup>

На реальной поверхности GaAs и InP обычно имеется хорошо выраженный обедненный слой. При достаточно низком уровне фотонинжекции в приближении барьера Шоттки  $\sigma_{\phi}$  можно записать в виде

$$\sigma_{\phi} = \sigma_0 \Delta l_1 = \sigma_0 l_0 (\sqrt{Y_1 - 1} - \sqrt{Y_1 - \Delta Y_{\phi} - 1}) = \frac{\sigma_0 l_0 \Delta Y_{\phi}}{\sqrt{Y_1 - 1} + \sqrt{Y_1 - \Delta Y_{\phi} - 1}}, \quad (2)$$

где  $\sigma_0 = q \mu_n n_0$  — темновая проводимость квазинейтрального объема,  $\Delta l_1$  — изменение ширины поверхностного барьера при освещении,  $Y_1$  — безразмерная высота барьера в темноте,  $\Delta Y_{\phi}$  — безразмерная поверхностная фотоэдс,  $l_0$  — длина Дебая.

Теория и эксперимент [9] показывают, что зависимость  $\Delta Y_{\phi}$  от интенсивности освещения  $L$  имеет вид

$$\Delta Y_{\phi} = \eta \ln (1 + BL), \quad (3)$$

где параметр  $\eta$  обычно лежит в интервале от 0.5 до 1,  $B$  — константа.

Из (2), (3) видно, что в режиме большого сигнала ( $\Delta Y_{\phi} \gg 1$ )  $\sigma_{\phi}$  приблизительно логарифмически зависит от  $L$ , что является характерным признаком БФП.

Оценим интенсивность освещения, при которой объемная фотопроводимость  $\sigma_{\phi} = q \mu_n \tau_a L$ , где  $\tau_a$  — эффективное время жизни электронов, становится равной предельному значению БФП  $\sigma_{\phi}(\infty) \approx \sigma_0 l_0 \sqrt{Y_1}$ . Для типичной пленки с  $n_0 \sim 10^{16} \text{ см}^{-3}$ ,  $l_0 \sim 10^{-5} \text{ см}$ ,  $\tau_a \sim 10^{-8} \text{ с}$ ,  $Y_1 \simeq 25$  получаем  $L \sim 10^{20} \text{ см}^{-2} \cdot \text{с}^{-1}$ . При обычных более низких уровнях освещения, получаемых, например, от монохроматора ( $L \leq 10^{16} \text{ см}^{-2} \cdot \text{с}^{-1}$ ), БФП, как нетрудно показать, будет на 2–3 порядка превышать  $\sigma_0$ .

При  $\Delta Y_{\phi} \ll 1$  реализуется линейный по  $L$  режим малого сигнала и

$$\Delta \sigma_{\phi} \simeq \frac{1}{2} \sigma_0 l_0 (Y_1 - 1)^{-1/2} \Delta Y_{\phi} \sim L. \quad (4)$$

По наклону зависимости  $\Delta \sigma_{\phi}$  ( $\Delta Y_{\phi}$ ) может быть определена высота барьера  $Y_1$  [6]. Однако более удобно и точно это можно сделать в режиме большого сигнала, используя зависимость (2), которую для этой цели можно преобразовать к виду

$$Y_1 = \frac{1}{4} (S_{\phi} + S_{\phi}^{-1} \Delta Y_{\phi})^2 + 1, \quad (5)$$

где  $S_{\phi} = \sigma_{\phi}/\sigma_0 l_0$ .

В связи с трудностями определения высоты барьера на реальной поверхности широкозонных полупроводников типа GaAs этот простой способ представляет определенный интерес. В отличие от известного способа определения  $Y_1$  по величине конденсаторной фотоэдс насыщения он не связан с применением предельно высоких уровней фотовозбуждения, при которых трудно избежать побочных явлений (нагрева и др.).

Для малосигнальной БФП, измеряемой при модулированной интенсивности света  $\Delta L$  на фоне постоянной подсветки  $L \gg \Delta L$ , дифференцируя (2), (3), можно получить

$$\Delta \sigma_{\phi} = \frac{\sigma_0 l_0 \eta}{2 \sqrt{Y_1 - \Delta Y_{\phi} - 1}} \left( \frac{\Delta L}{L} \right). \quad (6)$$

Фоточувствительность барьера уменьшается при подсветке приблизительно обратно пропорционально  $L$ .

<sup>1</sup> Величина  $\sigma_{\phi}$  зависит от состояния границ пленки, что учитывается обычно введением эффективных скоростей поверхностной рекомбинации на границах или эффективного времени жизни [5].

Рассмотрим роль внутреннего  $n$ - $i$ -барьера. Его высота  $Y_2$  может превышать  $Y_1$ , однако основной вклад в  $\sigma_{\phi 2}$ , по-видимому, вносит изменение при освещении не всего барьера, а лишь той его части  $Y_{n2}$ , которая локализована в более проводящей  $n$ -области, т. е. в аналогичных (2), (6) выражениях для  $\sigma_{\phi 2}$  и  $\Delta \sigma_{\phi 2}$  следует заменить  $Y_1$  на  $Y_{n2}$  и  $\Delta Y_{\phi 1}$  на  $\Delta Y_{\phi n2} < \Delta Y_{\phi 2}$ . Последнее неравенство весьма затрудняет проведение количественных оценок, относящихся к БФП внутреннего барьера, так как на опыте измеряется  $\Delta Y_{\phi 2}$ . Однако рассмотренные выше качественные закономерности, в частности, касающиеся зависимости БФП от интенсивности освещения (подсветки), очевидно, должны относиться и к внутреннему барьеру.

Заметим, что даже в относительно толстых пленках, в которых интенсивность света вблизи внутреннего барьера на 2–3 порядка меньше  $L$ , при  $Y_{n2} \sim Y_1$  величина  $\sigma_{\phi 2}$ , как следует из (2), (3), вполне сопримерна с  $\sigma_{\phi 1}$ . При подсветке сильно поглощаемым излучением для проникающего модулированного излучения, как видно из (6), можно легко реализовать условие  $\Delta \sigma_{\phi 2} \gg \Delta \sigma_{\phi 1}$ .

Время релаксации поверхности барьера обычно значительно превышает время релаксации внутреннего барьера, что связано с более дефектной структурой поверхности и, в частности, с захватом части заряда на медленные поверхностные состояния. Особенно значительна инерционность поверхности фотодиода в  $n$ -InP [9], в котором времена спада могут достигать десятков минут. В связи с этим следует ожидать увеличения относительного вклада в БФП внутреннего барьера с ростом частоты модуляции освещения. Этому способствует и эффект накопления поверхности заряда при модулированном освещении, обусловленный большой инерционностью и сильной асимметрией кривых нарастания и спада фотодиода, действие которого аналогично подсветке, уменьшающей фоточувствительность барьера.

### Методика эксперимента

Исследовались пленки  $n$ -GaAs ( $n_0 \sim 10^{14}$ – $10^{17}$  см $^{-3}$ ) и  $n$ -InP ( $n_0 \sim 10^{16}$  см $^{-3}$ ) толщиной  $d \approx 1$ – $6$  мкм, полученные методом газофазной эпитаксии на соответствующих полуизолирующих подложках.

Планарная фотопроводимость измерялась между омическими контактами, расположенными на расстоянии 6 мм. Одновременно контролировалась конденсаторная фотодиод (КФЭ) методом динамического конденсатора при постоянном освещении или методом статического конденсатора при модулированном освещении. В первом случае перед образцом устанавливался вибрирующий полупрозрачный электрод, во втором — к поверхности образца прижималась тонкая (20 мкм) слюдянная пластинка с нанесенным на нее полупрозрачным электродом. Если в качестве другого электрода конденсатора использовались планарные контакты, служившие для измерения фотопроводимости, в конденсаторе измерялась фотодиод на поверхности барьере  $\Delta Y_{\phi 1}$ . Если в качестве второго электрода использовался контакт, нанесенный на обратную сторону подложки, в конденсаторе измерялась алгебраическая сумма  $\Delta Y_{\phi 1} + \Delta Y_{\phi 2}$ . Из совокупности двух измерений определялась фотодиод на внутреннем барьере  $\Delta Y_{\phi 2}$  [10].

Образцы освещались постоянным неразложенным светом лампы накаливания, пропущенным через водяной светофильтр, и монохроматическим модулированным светом от гелий-неонового лазера или монохроматора УМ-2. Частота модуляции варьировалась в диапазоне  $10^1$ – $10^7$  Гц.

На отдельных образцах для определения времени жизни неосновных носителей проводились измерения фотомагнитного эффекта (ФМЭ).

### Экспериментальные результаты и обсуждение

На рис. 1 представлены типичные результаты совместных измерений фотопроводимости и КФЭ при постоянном освещении. Кривые 1, 4 получены при плавном увеличении интенсивности освещения и характеризуют зависимость

полной фотопроводимости  $\sigma_\phi$  от поверхностной фотоэдс  $\Delta Y_{\phi 1}$ , снятую в квазистатическом режиме. Кривые 2, 5 сняты после выключения освещения в процессе медленной релаксации фотопотенциала поверхности, изученной в работе [9], и представляют собой зависимость  $\sigma_{\phi 1}$  от  $\Delta Y_{\phi 1}$ . В GaAs из-за более быстрой, чем в InP, релаксации поверхностного барьера на самописце удается зафиксировать только небольшую инерционную часть  $\sigma_{\phi 1}$  (кривая 2). Значения высоты поверхностного барьера  $Y_1$ , рассчитанные из подобных кривых по формуле (5) для ряда образцов, лежали в интервале 14–20 для InP и 20–25 для

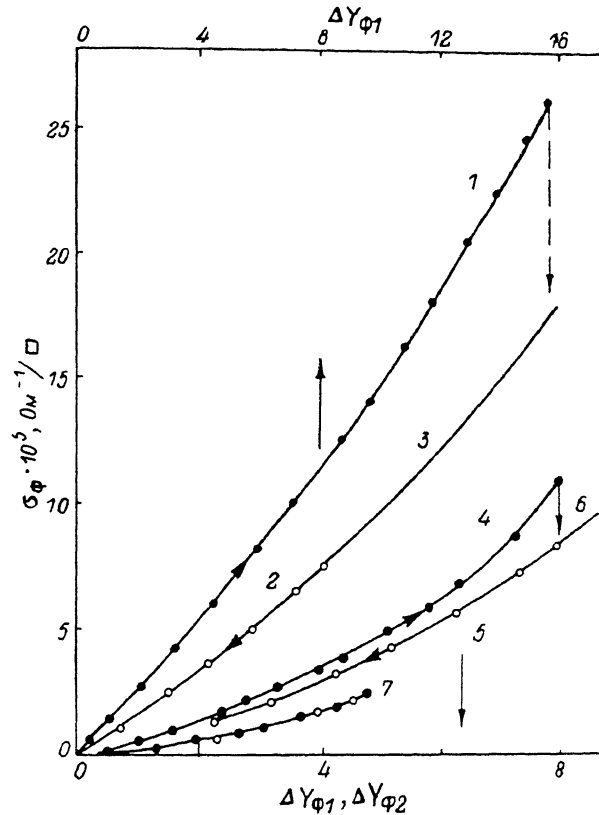


Рис. 1. Зависимость фотопроводимости от фотоэдс при постоянном освещении для пленок GaAs (1–3) и InP (4–7).

1, 4 —  $\sigma_\phi (\Delta Y_{\phi 1})$ ; 2, 5 —  $\sigma_{\phi 1} (\Delta Y_{\phi 1})$ ; 3, 6 — теоретическая зависимость (2); 7 —  $\sigma_{\phi 2} (\Delta Y_{\phi 2})$ .

GaAs. При экспериментально определенных значениях  $\mu_s$ ,  $n_0$  и  $Y_1$  теоретические зависимости (2) практически совпадают с экспериментальными (рис. 1, кривые 3, 6).

Гистерезис характеристик на рис. 1 обусловлен существованием относительно быстрой компоненты фотопроводимости ( $\sigma_\phi - \sigma_{\phi 1}$ ), не связанный с поверхностным барьером, которую естественно приписать БФП на внутреннем барьере. Такое заключение подтверждается тем, что величина  $\sigma_{\phi 2} \approx \sigma_\phi - \sigma_{\phi 1}$  коррелирует с величиной фотоэдс на  $n-i$ -переходе (кривая 7), а также тем, что  $\sigma_{\phi 2}$ , как и  $\sigma_{\phi 1}$ , логарифмически зависит от интенсивности освещения (рис. 2, кривые 1, 2). Используя коротковолновое освещение ( $\lambda \leq 0.7$  мкм) в пленках толщиной более 5 мкм, можно практически полностью исключить вклад внутреннего барьера и определять высоту поверхностного барьера непосредственно по кривым  $\sigma_\phi$  ( $\Delta Y_{\phi 1}$ ), полученным при освещении.

На рис. 2 приведены также зависимости малосигнальной фотопроводимости от интенсивности подсветки (кривые 3, 4). Они согласуются с зависимостью (6), в частности, при высоких освещенностях  $\Delta \sigma_\phi \sim L^{-1}$ . Отсутствие отклонения

от этой зависимости, связанного с достижением уровня объемной фотопроводимости, приводит к оценке отношения  $\sigma_{\phi 0}/\sigma_{\phi 1,2} \leqslant 10^{-3}$ .

В относительно толстых пленках ( $d \geqslant 2$  мкм) спектральная кривая КФЭ на внутреннем барьере отличается от соответствующей кривой КФЭ для поверхности барьера более сильным спадом фоточувствительности в коротковолновой области (рис. 3, кривые 1, 4), причем форма обеих кривых практически не зависит от подсветки, хотя величина сигнала при подсветке уменьшается более чем на порядок. Указанное отличие обусловлено в основном светофильторным действием удаленной от внутреннего барьера части пленки.

Спектральные кривые фотопроводимости в зависимости от вклада в БФП каждого из барьеров, который определяется толщиной пленки, интенсивность

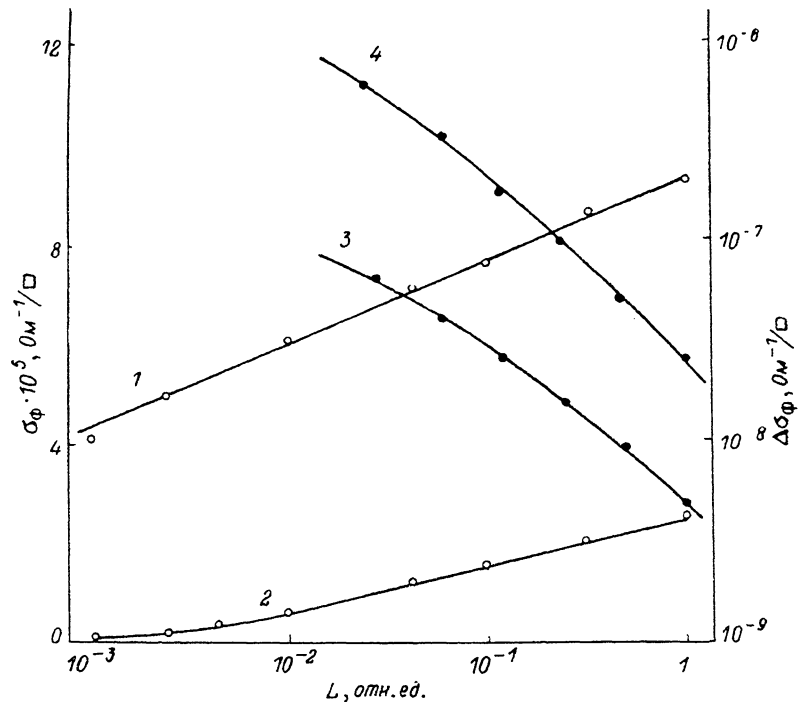


Рис. 2. Зависимость фотопроводимости от интенсивности освещения для пленок InP (1–3) и GaAs (4).

1 —  $\sigma_{\phi 1}$ ; 2 —  $\sigma_{\phi 2}$ ; 3, 4 —  $\Delta\sigma_{\phi}$ .

подсветки и частотой модуляции, обычно занимают промежуточное положение между спектральными кривыми КФЭ барьеров.

Для пленок InP, в которых поверхностный барьер обладает большой инверсионностью, спектральные кривые фотопроводимости без подсветки (кривая 2) и с подсветкой (кривая 3) уже на низких частотах ( $f \sim 10^2$  Гц) близки к спектральной кривой КФЭ для внутреннего барьера.

Аналогичное исследование показало, что в пленках GaAs без подсветки БФП связана в основном с поверхностным (кривая 5), а при сильной подсветке — с внутренним барьерами (кривая 6). Заметим, что подобное изменение спектральных кривых фотопроводимости GaAs при подсветке отмечалось и раньше<sup>[1]</sup> и связывалось с увеличением скорости поверхностной рекомбинации при сильном освещении. В свете вышеизложенного этот эффект естественно объясняется перераспределением вклада в фотопроводимость поверхностного и внутреннего барьеров при подсветке. Такое объяснение подтверждают и результаты исследования ФМЭ. Величина ФМЭ в пленках GaAs незначительно уменьшается (на 10–15 %), а в пленках InP даже возрастает при подсветке, что указывает на малую роль поверхностной рекомбинации.

Характерной особенностью БФП, отличающей ее от обычной фотопроводимости, является неэкспоненциальный характер кинетики релаксации при низком уровне фотовозбуждения ( $\sigma_{\phi} \ll \sigma_0 d$ ). Он обусловлен существенно не экспоненциальной кинетикой барьерной фотоэдс. Частотные зависимости БФП и КФЭ, как и следовало ожидать, практически совпадают (рис. 4, кривые 2—5).<sup>2</sup> Неэкспоненциальная кинетика проявляется на этих зависимостях в относительно медленном уменьшении сигнала с ростом частоты в широком диапазоне частот ( $\Delta \sigma_{\phi}, \Delta Y_{\phi} \sim f^{-\alpha}$  с  $\alpha < 0.5$ ). Низкочастотное плато, появляю-

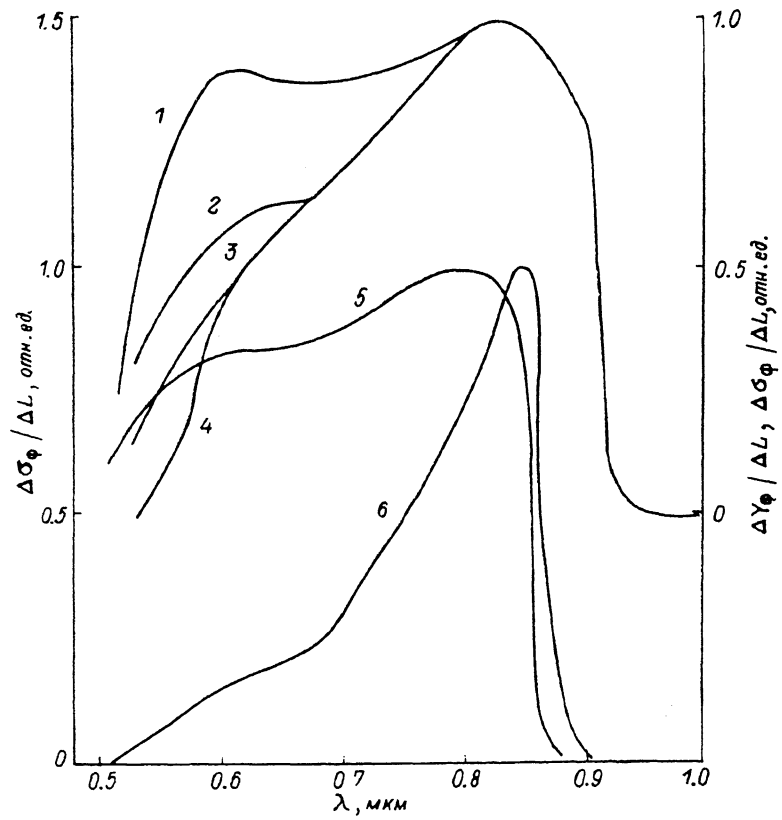


Рис. 3. Спектральная зависимость фотопроводимости и фотоэдс для пленок InP (1—4) и GaAs (5, 6).

1 —  $\Delta Y_{\phi 1}$ ; 2, 5 —  $\Delta \sigma_{\phi}$  без подсветки; 3, 6 —  $\Delta \sigma_{\phi}$  при подсветке; 4 —  $\Delta Y_{\phi 2}$ .

щееся при подсветке, расширяется в сторону высоких частот с ростом интенсивности подсветки, при этом граничная частота, определяемая, например, на уровне 0.7 ( $f_{0.7}$ ), изменяется примерно пропорционально  $L$  (кривые 2, 3), т. е.  $\tau = (2\pi f_{0.7})^{-1} \sim L^{-1}$ .

На некоторых пленках GaAs наблюдался более резкий спад  $\Delta \sigma_{\phi}$  и  $\Delta Y_{\phi}$  (кривые 2—5) на частотах  $f > 4$  МГц. Эта частота примерно соответствует частоте  $f_p = (2\pi\tau_p)^{-1}$ , где  $\tau_p$  — время жизни дырок. По данным ФМЭ для исследованных пленок  $\tau_p = (1 \div 5) \cdot 10^{-8}$  с. Однако на большинстве пленок какой-либо особенности на частотах  $f \sim f_p < 10$  МГц не наблюдалось (кривая 1), что свидетельствует о наличии наряда с медленными достаточно быстрых процессов в кинетике релаксации барьеров.

В связи с барьерной природой фотопроводимости пленок GaAs и InP при низких уровнях фотовозбуждения определение времени жизни электронов  $\tau_e$

<sup>2</sup> Из-за ограничений, налагаемых  $RC$ -параметрами измерительной схемы, измерения КФЭ проводились при  $f > 10^3$  Гц.

по кинетике или стационарному значению фотопроводимости становится некорректным в этих условиях. Формальное определение  $\tau_{\Phi}$  дает значения  $\sim 10^{-5}$  с. С учетом уровня объемной фотопроводимости, как уже отмечалось, на 2–3 по-

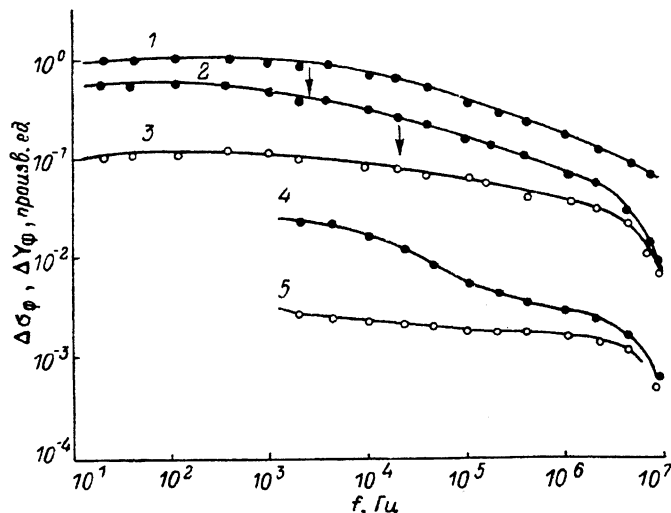


Рис. 4. Частотная зависимость фотопроводимости и конденсаторной фотоэдс.  
1 —  $\Delta\sigma_{\Phi}$  в InP при слабой подсветке; 2, 3 —  $\Delta\sigma_{\Phi}$  в GaAs при  $L/L_0 = 1$  и 5 соответственно; 4, 5 —  $(\Delta Y_{\Phi 1} + \Delta Y_{\Phi 2})$  в GaAs при тех же двух уровнях подсветки. Стрелками отмечены частоты  $f_{0,n}$ .

рядка ниже уровня БФП приведенное выше значение завышено в таком же отношении, и истинное время жизни электронов, по-видимому, близко к времени жизни дырок, как это имеет место при высоких уровнях фотовозбуждения ( $L > 10^{22} \text{ см}^{-2} \cdot \text{с}^{-1}$ ) [12].

#### Список литературы

- [1] Костылев С. А., Прохоров Е. Ф., Уколов А. Т. // Обзоры по электронной технике. Сер. Электроника СВЧ. 1986. В. 7 (1188). 40 с.
- [2] Osterwalder J. M., Rickett B. J. // Proc. IEEE. 1979. V. 67. N 3. P. 966—968.
- [3] Гореленок А. Т., Данильченко В. Г., Добровольских З. П., Корольков В. И., Мамутин В. Б., Табаров Т. С., Шмидт Н. М., Пуляевский Д. В. // ФТП. 1985. Т. 19. В. 8. С. 1460—1463.
- [4] Papaioannou G. V. // Phys. St. Sol. (a). 1986. V. 96. P. K99—K101.
- [5] Саченко А. В. // Проблемы физики поверхности полупроводников. Киев, 1981. С. 37—76.
- [6] Бедный Б. И., Калинин А. Н., Карпович И. А. // ФТП. 1983. Т. 17. В. 7. С. 1302—1304.
- [7] Matsuo N., Ohno H., Hasegawa H. // Japan. J. Appl. Phys. 1984. V. 23. N 5. P. L299—L301.
- [8] Edwards W. D. // IEEE Electron. Dev. Lett. 1980. V. 1. N 8. P. 149—150.
- [9] Карпович И. А., Савинов А. Н., Бедный Б. И. // Поверхность. 1988. № 11. С. 105—109.
- [10] Бедный Б. И., Калинин А. Н., Савинов А. Н. // Изв. вузов СССР. Физика. 1987. № 8. С. 109—111.
- [11] Дмитрук Н. Л. // Изв. вузов СССР. Физика. 1980. № 1. С. 38—51.
- [12] Глинчук К. Д., Литовченко Н. М., Родионов В. Е. // Матер. Всес. конф. «Физика соединений A<sup>3</sup>B<sup>5</sup>». Л., 1979. С. 54—57.

Горьковский  
государственный университет  
им. Н. И. Лобачевского

Получена 29.06.1989  
Принята к печати 25.07.1989